

بررسی ضوابط طراحی برج‌های مخابراتی خودایستا و تعیین هندسه‌ی بهینه آن‌ها

محمد قاسم سحاب (استادیار)

آووب فلاح نژاد (کارشناس ارشد)

دانشکده‌ی هندسی عمران، دانشگاه تهران

«برج‌های مشبک فلزی» یکی از انواع سازه‌های خاص و پراهمیت در مهندسی سازه‌اند. برج‌های مخابراتی مشبک با اشکال هندسی متفاوت، به لحاظ شکل مقاطع عرضی و طولی و آرایش اعضاً تشکیل‌دهنده‌ی آن‌ها، طراحی و ساخته می‌شوند. در این مقاله چند آیین‌نامه‌ی معتبر و متدالو در ایران برای طراحی برج‌های مخابراتی بررسی و با یکدیگر مقایسه شده‌اند. سپس ۸۴ برج مخابراتی خودایستا با مهاربند ضربدری، مقاطع عرضی مربعی و مثلثی، و ارتفاع‌های ۱۱۰ و ۱۲۱ متر، با استفاده از نرم‌افزار SAP ۲۰۰۰ V ۱۱ و براساس آیین‌نامه‌ی TIA/EIA-222-F (۱۹۹۶) تحلیل و طراحی شده، وزن و برخی مشخصات رفتاری آن‌ها نیز با هم مقایسه شده است. در بین ۸۴ برج مورد اشاره، کمترین وزن مربوط به برج‌های با مقاطع عرضی مثلثی است که مقاطع طولی آن‌ها شامل یک قسمت شبیه دار را پائین و یک قسمت منشوری در بالاست. از نظر تغییر مکان و چرخش نیز برج‌های با مقاطع عرضی مربعی، تغییر مکان‌ها و چرخش‌های کمتری نسبت به برج‌های با مقاطع عرضی مثلثی دارند. این مطالعه نشان می‌دهد، استفاده از مقاطع مثلثی در برج‌های مخابراتی آن‌ها نسبت به مقاطع مربعی برای بارهای یکسان می‌تواند بیش از ۴۰ درصد کاهش وزن سازه را در پی داشته باشد.

sahab@aut.ac.ir
af.civil@yahoo.com

واژگان کلیدی: برج مخابراتی، برج مشبک فلزی، برج خودایستا، هندسه‌ی بهینه، بازگذاری باد.

۱. مقدمه

ارتفاع ۱۲۰ تا ۱۸۰ متر ساخته می‌شوند. سازه این برج‌ها شامل پایه‌های اصلی و مهارهای متقاطع و افقی است. نمونه‌ی از این نوع برج با مقاطع عرضی مثلثی (سه‌پایه) و اعضاً لوله‌یی به همراه آتن‌های مختلف نصب شده بر روی آن در شکل ۱ الف نشان داده شده است. معمولاً در برج‌های با مقاطع عرضی مربعی (چهارپایه) زاویه بین اضلاع مقطع، ۹۰° و در برج‌های با مقاطع عرضی مثلثی (سه‌پایه)، ۶۰° است.^[۱]

برج‌های مهارشده شامل یک بدنه یا دکل با مقاطع عرضی مثلثی، مربعی، یا مقطع دور توپزند که با اتصال مفصلی بر روی پی نصب می‌شوند. اعضاً این برج‌ها از عناصر میله‌یی با مقاطع مختلف نظیر مقطع قوطی، لوله و نبیشی ساخته می‌شوند و برای تأمین ایستایی دکل آن را توسط کابل‌های فولادی متصل به پی‌های بتونی، از اطراف مهار می‌کنند. در یک نمونه از برج‌های مهارشده (شکل ۲)، مهارها در طول ارتفاع دکل با زاویه‌ی ۴۵° نسبت به محور طولی آن نصب شده‌اند و هر مهار پی مجزایی دارد. در حالت دیگر، گروهی از مهارها که در یک صفحه قرار می‌گیرند به یک پی مشترک متصل می‌شوند. معمولاً در این حالت بیشینه زاویه انجراف بالاترین مهار نسبت به افق ۶۰° است. در بالان برج مهارها به صورت شعاعی نسبت به محور مرکزی دکل دیده می‌شوند. معمولاً برای برج‌های با مقاطع عرضی

برج‌های مخابراتی سازه‌هایی هستند که به عنوان پایه‌یی برای نصب انواع آتن‌های دریافت و ارسال امواج الکترومغناطیس احداث می‌شوند. غالباً برای سبک نمودن برج و کاهش سطح بادگیر آن، برج را از مصالح فلزی و به صورت مشبک می‌سازند. در عین حال، گاهی برج‌های مخابراتی فلزی با سطوح پر و غیرمشبک احرا می‌شوند و گاهی نیز با استفاده از بتون مسلح و با سطوح پر ساخته می‌شوند. در این موارد، از برج نه تنها به عنوان پایه‌یی برای نصب آتن استفاده می‌گردد بلکه با ایجاد کاربری‌های همچون رستوران، موزه، شهرک همایش، شهر بازی و نظایر آن در قسمت‌های مختلف و بر فراز برج، آن را به یک مرکز پر جاذبه‌ی توریستی و تقویتی تبدیل می‌کنند. در شکل ۱ سه نمونه از این برج‌ها ملاحظه می‌شود.

در غیاب ساختمان‌های بلند برای نصب آتن بر فراز آن‌ها، برج‌های مخابراتی فلزی مشبک یکی از اقتصادی ترین گزینه‌های برای این منظورند. این نوع برج‌ها به طور نسبی دارای وزن بسیار کمی بوده و آسان‌تر ساخته و بر پا می‌شوند. برج‌های مشبک به دو نوع «برج‌های خودایستا^[۱]» و «برج‌های مهارشده^[۲]» تقسیم می‌شوند. برج‌های خودایستا سازه‌های فضایی با سه یا چهار پایه بوده و معمولاً با بیشینه



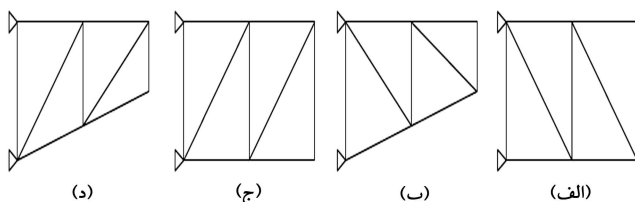
شکل ۱. نمونه هایی از انواع برج های مخابراتی.

داشته باشد سوالی است که پاسخ به آن بسیار حائز اهمیت است. در این نوشتار ضوابط آینین نامه های چهار کشور مختلف دنیا درمورد بارگذاری و طراحی برج های مخابراتی بررسی و مقایسه شده است. همچنین ضمن تحلیل و طراحی ۸۴ برج با هندسه های متفاوت و مقایسه های نتایج حاصله، هندسه های بھینه های آن ها تعیین شده است.

با بررسی تغییرات وزن و تغییر مکان های برج های مخابراتی تحت بارگذاری یکسان نشان داده شده است که برج های مخابراتی با مقطع مثلثی، در مقایسه با برج های با مقطع مربعی، وزن کمتری دارند. اما در مواردی که چرخش برج با توجه به نوع آتن نصب شده بر روی آن لازم است محدود شود، بهتر است از برج های با مقطع عرضی مربعی و مقطع طولی متغیر استفاده شود.

۲. هندسه ها و توپولوژی های متفاوت سازه برج های مخابراتی مشبک فلزی

هندسه های یک سازه هی خرپایی با تعداد معینی گره را می توان با تغییر مختصات گره ها و بدون حذف یا اضافه کردن هیچ گره بی تغییر داد. چنانچه در این سازه ها اعضایی که بین گره ها قرار می گیرند از نظر وجود یا عدم وجود یکسان باشند، سازه هایی با توپولوژی یکسان اما با طرح های هندسی متفاوت خواهیم داشت. به عنوان مثال خرپاهای نشان داده شده در شکل های ۳الفا و ۳ب دارای توپولوژی های یکسان اما طرح های هندسی متفاوتند. طرح هندسی خرپای نشان داده شده در شکل ۳ج نیز با طرح هندسی خرپای نشان داده شده در شکل ۳الف یکسان است، اما با توجه به تفاوتی که در وجود اعضای رابط بین گره ها در این دو خرپا وجود دارد توپولوژی آن ها



شکل ۳. سازه های خرپایی با طرح های هندسی و توپولوژی های متفاوت.



شکل ۲. برج مهارشده با مقطع مثلثی.

مثلثی و دایره بی در هر تراز مهارشده دکل از ۳ مهار و برای مقطع عرضی مربعی از ۴ مهار استفاده می شود.^[۵] نظر به عدم وجود مقررات ملی برای طراحی برج های مخابراتی، دفاتر مهندسی در ایران با نظر شخصی و خواست کارفرما از آین نامه های سایر کشورها از جمله آمریکا و آلمان بهره می برند. مثال های عددی ارائه شده در این مطالعه نشان می دهد که نیروهای پاد پیش بینی شده تو سطح آین نامه های مختلف برای طراحی برج های مخابراتی ممکن است بسیار با یکدیگر متفاوت باشند. این واقعیت لزوم تدوین مقررات ملی مناسب برای یکسان سازی طراحی برج های مخابراتی در سطح ایران را روشن می سازد. بررسی انتباط شرایط تعریف شده در این آین نامه ها با شرایط ایران، موضوعی است که نیاز به بررسی دقیق و تحقیقات جامع دارد. براساس آنچه که شرح داده شد، هندسه (شکل مقطع عرضی و طولی و عرض پایه) و توپولوژی (آرایش اعضاء خرپا) برج های مخابراتی مشبک بسیار متنوع است، و تعیین هندسه و توپولوژی بی که کمترین وزن و بهترین عملکرد را از نظر ضوابط طراحی

عملیات برای دست‌یابی به طرح بهینه به طور چشمگیری افزایش می‌یابد و معمولاً رسیدن به نتیجه‌ی مطلوب دشوار می‌شود.^[۱] در بهینه‌سازی تپولوژی، اعضایی از سازه حذف یا به آن اضافه می‌شوند. چنانچه تمام اعضای متصل به گرهی حذف شوند، آن گره نیز از سازه حذف می‌شود.^[۲] برای مثال، هندسه‌ی کلی برج‌های نشان داده شده در شکل ۵ یکسان است، ولی از آنجا که تعداد اعضا و گره‌های آن‌ها با یکدیگر متفاوت‌اند، تپولوژی این برج‌ها نیز متفاوت خواهد بود. چنان‌که در شکل ۵ ملاحظه می‌شود، با حذف یک مهاربند در هر تراز از برج با مهاربند ضربه‌ی (شکل ۱۵الف)، برج با مهاربند قطعی (شکل ۵ب) به دست می‌آید. مقاومت برج با مهاربند هشت‌تی نشان داده شده در شکل ۵ج نیز با دو برج قابلی در تعداد اعضا و گره‌های است. روشن است که برای تعیین کمینه وزن برج با هریک از هندسه‌های مفروض برشمرده شده، باید عملیات بهینه‌سازی مقاطع اعضای برج تا آنجا ادامه یابد که کمینه وزن ممکن برای آن‌ها به دست آید. در این صورت می‌توان از مقایسه‌ی کمینه وزن‌های حاصله برای هر یک از برج‌ها با هندسه‌های مذکور تپولوژی بهینه‌ی آن برج را تعیین کرد.^[۳]

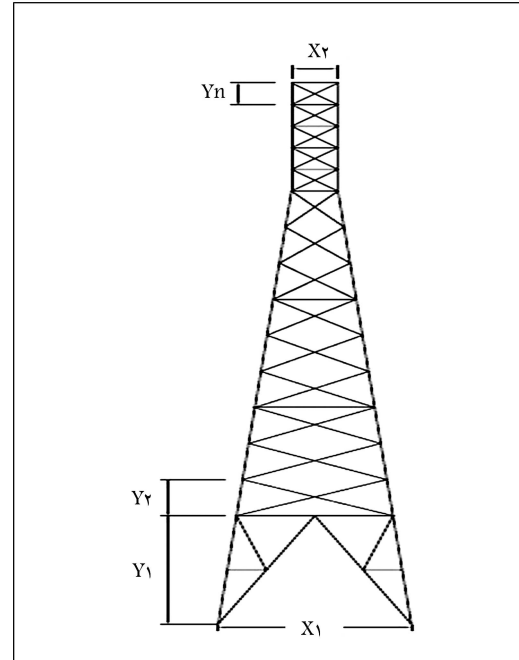
۳. مقایسه‌ی استانداردها و آیین‌نامه‌های تحلیل و طراحی برج‌های مخابراتی

در آیین‌نامه‌های بارگذاری کشورهای مختلف جهان، بارها و موضوعات مربوط به طراحی برج‌های مخابراتی مورد بحث و بررسی قرار گرفته است. آیین‌نامه‌ی (۶۰۵۰۵) ASCE/SEI^[۴] مربوط به طراحی سازه‌های فلزی در آمریکاست که در ایران نیز شناخته شده و برای بارگذاری و طراحی برج‌های مخابراتی مشبك فلزی مورد استفاده قرار می‌گیرد. علاوه بر این، آیین‌نامه‌ی (۱۹۹۶) TIA/EIA-۲۲۲-F^[۵] برای بارگذاری و طراحی برج‌های مخابراتی توسط این‌جن مصنعت ارتباطات مخابراتی آمریکا به چاپ رسیده است. آیین‌نامه‌ی هندستان^[۶] با عنوان «بارگذاری باد بر روی ساختمان‌ها و سازه‌ها»^[۷] نیز ارجمله آیین‌نامه‌های معتبر موجود برای تعیین بارهای حاصل از وزش باد بر روی برج‌های مخابراتی است. درین کشورهای اروپایی آیین‌نامه DIN ۴۱۳۱^[۸] آلمان با عنوان «دکل‌ها و برج‌های رادیویی فلزی» نیز در دفاتر طراحی مهندسی در ایران مورد استفاده قرار می‌گیرد. مبحث ششم مقررات ملی ساختمان ایران^[۹] که به تعیین کمینه بارهای واردہ بر ساختمان‌ها و بناهای فنی اختصاص دارد، به اختصار به موضوع چگونگی بارگذاری باد بر روی برج‌ها و دکل‌های مشبك پرداخته، اما به بار برف و بیخ و سایر مباحث خاص در بارگذاری و طراحی برج‌های مخابراتی اشاره‌ی نمی‌کند.

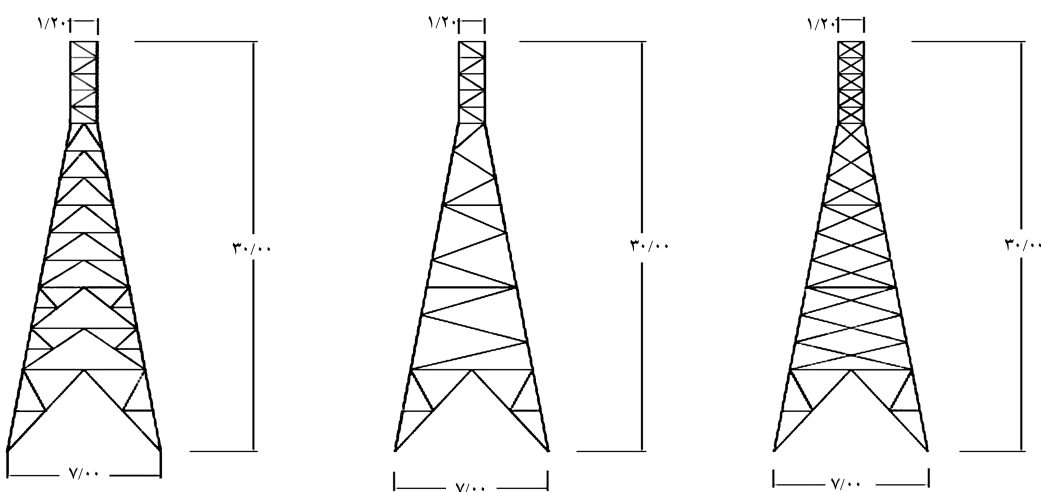
بی‌تردید استفاده از آیین‌نامه‌ی سایر کشورها برای بارگذاری و طراحی برج‌های مخابراتی در ایران بدون توجه به شرایط خاص آب و هوایی، اقلیمی و مسائل اجرایی کشور از نظر اصول مهندسی قابل قبول نیست. براین اساس به نظر می‌رسد لازم است مراجع ذی‌ربط، همچون دفتر تدوین و ترویج مقررات ملی ساختمان، با تشکیل کمیته‌های تخصصی و گروه‌های تحقیقاتی و نیز با انجام مطالعات علمی در زمینه‌های سازه‌ی و هواشناسی و سایر موضوعات مربوط به تحلیل و طراحی برج‌های مخابراتی و گذگرن از آیین‌نامه‌های کشورهای دارای شرایط مشابه ایران نسبت به تهیه‌ی مقررات ملی بارگذاری و طراحی برج‌های مخابراتی اقدام کنند. با توجه به این ضرورت، در ادامه ضوابط بارگذاری آیین‌نامه‌های برشمرده شده در بالا، به اختصار بررسی و با یکدیگر مقایسه خواهند شد.

با یکدیگر متفاوت است. خرپای نشان داده شده در شکل ۳ دنیز هم از نظر تپولوژی و هم از نظر طرح هندسی با خرپای نشان داده شده در شکل ۳alf متفاوت است. بهینه‌سازی طراحی سازه‌ی^[۱] یکی از شاخه‌های مهندسی سازه است که به بحث بر روی طراحی سازه‌ها برای کمینه‌ی یا بیشینه‌کردن مقدار یک یا چند تابع هدف می‌پردازد. به عنوان مثال می‌توان وزن یا هزینه‌ی ساخت سازه یا هزدی این موارد را به عنوان تابع هدف در بهینه‌سازی طرح یک سازه در نظر گرفت. وقتی در سازه‌ی با هندسه و تپولوژی ثابت، ابعاد مقطع اعضا یا به عبارتی سطح مقطع آن‌ها به عنوان «متغیرهای طراحی» برای کمینه‌ی یا بیشینه‌شدن تابع هدف تغییر می‌یابند. در واقع اندازه‌های یا ابعاد اعضاء سازه بهینه‌سازی شده است. می‌توان در تعریف متغیرهای طراحی علاوه بر سطح مقطع اعضا، هندسه‌ی سازه را نیز متغیر در نظر گرفت. در این صورت بهینه‌سازی طرح هندسی آن نیز انجام می‌شود. اگر مثلاً در یک سازه‌ی خربغا، تعریف اعضای رابط بین گره‌ها (وجود یا عدم وجود آن‌ها) متغیر در نظر گرفته شود و در واقع تپولوژی سازه نیز متغیر باشد، آنگاه تپولوژی آن نیز در خال کمینه‌ی یا بیشینه‌کردن تابع هدف بهینه‌ی می‌شود.^[۲]

در بهینه‌سازی هندسی، چنانچه مختصات گره‌ها و اندازه‌ی سطح مقطع اعضا تغییر کند، تپولوژی ثابت خواهد بود، اما اگر تعدادی از گره‌ها در طی روند حل در هم ادغام شوند برخی از اعضا حذف می‌شوند و تپولوژی سازه در این حالت خاص، تغییر می‌کند.^[۳] در واقع، در بهینه‌سازی هندسی طول اعضا تغییر می‌کند و سپس اعضا بی‌با طول‌ها و درنتیجه نیروهای جدید طراحی می‌شوند. برای مثال، در مرور برج مشبك نشان داده شده در شکل ۴ می‌توان فقط با تغییر ابعاد X1 و X2 هندسه‌ی برج را تغییر داد و بازی هر X1 و X2 معین، نیروهای اعضا و طراحی آن‌ها را تعیین کرد، و بالاخره از مقایسه‌ی وزن برج‌هایی که با X1 و X2 های مختلف طرح شده‌اند کمترین وزن را بین اشکال مختلف برج مشخص و به هندسه‌ی بهینه رسید. برای به دست آوردن بهترین هندسه می‌توان علاوه بر تغییر X1 و X2 ابعاد Y1، تا Yn را نیز تغییر داد. در این حالت باید توجه داشت که با افزایش تعداد متغیرها، حجم



شکل ۴. متغیرهای هندسی برج برای رسیدن به هندسه‌ی بهینه.



شکل ۵. تولویزی‌های مختلف یک برج مخابراتی با هندسه‌ی ثابت.

جدول ۱. بارهای طراحی برج‌های مخابراتی براساس آیین‌نامه‌های مختلف.

آیین نامه	بارهای طراحی	ملاحظات
TIA/EIA-222-F(۱۹۹۶)	بار مرده، باد (با روابط مجزا برای برج و آتن) و بیخ	روابط این آیین نامه با آیین‌نامه ۵ ASCE/SEI۷-۰ مشابه است.
مبحث ششم مقررات ملی ساختمان ایران	بار مرده و باد	در بند ۴-۱-۶-۶ آیین‌نامه ذکر شده است که محاسبه‌ی بار باد برای برج‌های با زمان تناوب بزرگ‌تر از یک با استفاده از خواص بیان شده در فصل مربوط به باد کافی نیست.
ASCE/SEI۷-۰ ۵ (۲۰۰۶)	بار مرده، باد و بیخ	-
DIN ۴۱۳۱-(۱۹۹۱)	بار مرده، باد و بیخ	-
IS:۸۷۵ آیین‌نامه‌ی هندوستان	بار مرده، باد و بیخ	-

جدول ۲. مقایسه‌ی روابط آیین‌نامه‌های مختلف طراحی در برابر باد.

آیین نامه	(N/m ^۲)	نیروی باد وارد بر قطعه (N)
TIA/EIA-222-F	$q_z = 0.613 K_z V^2$	$F = q_z G_H [C_F A_E + \sum (C_A A_A)]$
مبحث ششم مقررات ملی ساختمان ایران	$q_z = K_z \cdot C_f \cdot q_0$	$F = q_z A$
ASCE/SEI۷-۰ ۵	$q_z = 0.613 K_z K_{zt} K_d V^2 I$	$F = q_z G C_f A$
DIN ۴۱۳۱-(۱۹۹۱)	$q_z = q_0 + 0.103 z$	$F = c_f q_z A$
آیین‌نامه‌ی هندوستان ۸۷۵ : IS	$q_z = k_d k_a k_c q_0$ $V_z = V K_z K_{zt} I$ $q_0 = 0.6 V_z^2$	$F = C_f q_z A$

۱.۳. بارهای طراحی

در جدول ۱ بارهایی دنظر گرفته شده طبق آیین‌نامه‌های مختلف مورد اشاره، در جدول ۲ روابط محاسبه‌ی بار باد که از جمله بارهای مهم در طراحی برج‌های متشبک فلزی است، براساس آیین‌نامه‌های مورد بررسی در ادامه جزئیات محاسبه‌ی بارهای طراحی برج‌های مخابراتی براساس آیین‌نامه‌های مختلف مورد بحث قرار است.

تعریف پارامترهای به کار رفته در جدول ۲ عبارتند از: F نیروی اعمال شده

جدول ۳. مقایسه‌ی روابط بار یخ براساس آینین‌نامه‌های مختلف مورد بررسی.

آینین نامه	بار برف و یخ
TIA/EIA-۲۲۲-F	ضخامت یخ به صورت شعاعی و یکنواخت دورتا دور قطع اعضا در نظر گرفته می‌شود. یخ به دو صورت: متراکم با چگالی $1/8$ ، و معمولی با چگالی $1/7$ کیلو نیوتون بر مترمکعب در نظر گرفته می‌شود.
ASCE/SEI۷-۰۵	- مبحث ششم مقررات ملی ساختمان ایران
DIN ۴۱۳۱- (۱۹۹۱)	بار یخ با توجه به وزن و سطح آن از روابط زیر تعیین می‌شود: $A_s = \pi r^2$, $V_i = \pi t_d A_s$ $A_i = \pi t_d (D_c + t_d)$ و $t_d = 2t I_i f_z (K_{zt})^{1/2}$
آینین نامه هندوستان شرایط آب و هوایی و تجربیات محلی محاسبه شوند.	یخ زدگی به صورت شعاعی و یکنواخت فرض می‌شود. شدت یخ زدگی به محل برج سنتگی دارد و با نظر کارفرما تعیین می‌شود.
IS : ۸۷۵	-

جدول ۴. مقایسه‌ی ترکیبات بارگذاری آینین‌نامه‌های مختلف مورد بررسی.

آینین نامه	ترکیبات بار
TIA/EIA-۲۲۲-F	$1 - D + W_0, 2 - D + 0, 75W_I + I$
ASCE/SEI۷ - ۰۵	مبحث ششم مقررات ملی ساختمان ایران
DIN ۴۱۳۱ - (۱۹۹۱)	$1 - D + W_0, 2 - D + 0, 71, 3 - D + 0, 71 + 0, 77W_I, 4 - 0, 6D + 0, 71 + 0, 77W_I$ در حضور بار یخ: بار باد باید بادر نظر گرفتن 75° فشار مبنای محاسبه شود.
آینین نامه هندوستان IS : ۸۷۵	$1 - D + W_0, 2 - D + W_I + I$

بار مرده، W بار باد بدون در نظر گرفتن یخ، W_I بار باد محاسبه شده با توجه به محیط یخ زده اعضا، I بار یخ (وزن یخ).

۵. ترکیبات بارگذاری

در تمام آینین‌نامه‌های مورد بررسی اثر بار باد و بار مرده به طور همزمان بدون بار یخ در نظر گرفته شده است. در این آینین‌نامه‌ها احتمال وجود همزمان بار یخ و باد به صورت کامل، بعدی دانسته شده و ضریب 75° برای بار باد در نظر گرفته شده است. لازم به توضیح است که آینین‌نامه‌ی بارگذاری ایران ضوابط خاصی را درمورد

باد (برحسب نیوتون)، q فشار و مکش باد در ارتفاع z از سطح متوسط زمین (برحسب نیوتون بر مترمربع)، w فشار مبنای باد (برحسب نیوتون بر مترمربع)، G_H ضریب پاسخ تند باد^۵, C_f ضریب نیرو^۶ که در آینین‌نامه‌ی ایران «ضریب شکل» نامیده شده است، C_F ضریب نیروی سازه‌ی^۷ C_A ضریب نیروی اعمالی به اجرزا و متعلقات غیرسازه‌ی^۸ A تصویر سطوح تحت اثر باد بروی صفحه عمود بر جهت وزش باد (برحسب مترمربع)، AA تصویر سطوح رو به باد متعلقات خطی^۹ غیرسازه‌ی (برحسب مترمربع)، AE تصویر مؤثر سطوح اعضا سازه‌ی در یک طرف برج (برحسب مترمربع)، K_z ضریب در معرض باد بودن که تابعی از ارتفاع محل محاسبه فشار باد و وضعیت عوارض سطح زمین و موانع اطراف است. در آینین‌نامه‌ی ایران به عنوان ضریب اثر تغییر سرعت^{۱۰} در نظر گرفته شده است. K_{zt} ضریب توپوگرافی^{۱۱}, K_d ضریب هدایتی باد^{۱۲}, K_a ضریب متوجه سطح^{۱۳}, K_c ضریب ترکیب^{۱۴}, K_1 ضریب ریسک^{۱۵}, c_{fi} ضریب نیروی آبرودینامیک, I ضریب اهمیت^{۱۶}, V سرعت مبنای باد^{۱۷} در ارتفاع مورد نظر (z) (برحسب متر بر ثانیه)، V_z سرعت باد برای طراحی^{۱۸} در ارتفاع مورد نظر (z) (برحسب متر بر ثانیه).

۳.۳. بار برف و یخ

نظر به این‌که برج‌های مخابراتی غالباً در نقاط کوهستانی مرتفع و برف‌گیر نصب می‌شوند، و نیز به دلیل ارتفاع معمولاً زیاد این برج‌ها، به هنگام بارش برف و حتی باران، در اطراف اعضاء برج برف و یخ انباشته می‌شود. در جدول ۳ بار یخ و برف مذکور شده برای برج‌های مخابراتی طبق آینین‌نامه‌های مورد بررسی در این مطالعه ملاحظه می‌شود.

تعريف پارامترهای اشاره شده در جدول ۳ عبارت است از: A_s سطح مقطع قطعه‌ی پوشیده شده با یخ (برحسب مترمربع), r شعاع دایره‌ی محاط بر قطعه‌ی پوشیده شده با یخ (برحسب متر)، A_i سطح قطعه‌ی پوشیده شده با یخ برای محاسبه‌ی نیروی باد (برحسب مترمربع), t , ضخامت یخ محاسبه شده برای طراحی اعضا (برحسب متر)، V_i حجم مترا، t_d ضخامت یخ محاسبه شده برای طراحی اعضا (برحسب مترمکعب)، f_z ضریب ارتفاع^{۱۹}, I_i ضریب اهمیت, K_{zt} ضریب توپوگرافی, D قطر دایره‌ی محاطی مقطع عضو می‌باشد.^[۸]

۴.۳. بارهای ناشی از زلزله

با توجه به کم‌بودن جرم برج‌های مشبك فلزی در مقایسه با سطح بادگیر آن‌ها، نیروهای ناشی از زلزله که متناسب با جرم سازه می‌باشند، نسبت به بارهای ناشی از وزش باد مقدار کوچک‌تری دارند. از این‌رو آینین‌نامه‌های بارگذاری غالباً به بارهای ناشی از زلزله در طراحی برج‌های مشبك فلزی نمی‌پردازند. هرچند در تحقیق انجام شده درمورد اثر زلزله بر روی برج‌های مشبك فلزی خودایستا^[۱۱] نشان داده شده در مواردی که جرم سنگینی در بالای برج قرار می‌گیرد نیروهای ناشی از زلزله می‌توانند در طراحی سازه‌ی برج مؤثر و تعیین‌کننده باشند. آتن‌هایی که روی برج‌های مخابراتی نصب می‌شوند، معمولاً دارای جرم زیادی نمی‌باشند. از این‌رو بار ناشی از زلزله بر روی برج‌های مشبك فلزی جز در موارد خاص ناچیز است.

۷.۳. ضوابط خاص طراحی

با توجه به ویژگی‌های خاص عملکردی و حساسیت آتن‌های مخابراتی نسبت به جهت تنظیم شده برای آن‌ها و همچنین اهمیت حفظ ارتباطات مخابراتی به‌ویژه درهنگام وقوع حوادث و بحران‌ها، در طراحی سازه‌ی برج‌های مخابراتی ضوابط خاصی، افزون بر ضوابط معمول طراحی سازه‌های فلزی، وضع شده است.

آین نامه‌ی (۱۹۹۶) TIA/EIA-۲۲۲-F^{۱۰} برای سازه‌های با ارتفاع کمتر از ۲۱۳ متر، تنش مجاز را به مقدار ۳۳٪ افزایش می‌دهد. همچنین محدودیت‌های لاغری اعضا طبق این آین نامه عبارت است از:

- برای اعضا مریب به پایه‌های برج (Leg) : ۱۵۰°؛
- برای اعضا مریب به مهاربندهای برج (Brace) : ۲۰۰°؛
- برای اعضا اضافی (Redundant) : ۲۵۰°.

محدودیت‌های مریب به جایه‌جایی و دوران برج، باید براساس توصیه‌های شرکت سازنده آتن رعایت شود. در صورت عدم وجود ضوابط خاص از طرف شرکت سازنده، باید مقادیر عمومی ذکر شده مطابق برخی آین نامه‌ها — ازجمله آین نامه‌ی TIA/EIA-۲۲۲-F(۱۹۹۶) — در نظر گرفته شوند.

۴. تحلیل و طراحی برج‌های مخابراتی به منظور تعیین هندسه‌ی بهینه‌ی آن‌ها

در این نوشتار تحلیل و طراحی برج‌های خودایستا با مقاطع عرضی و طولی مختلف، و با ارتفاع‌ها و عرض مقاطع‌های متفاوت مورد مطالعه قرار گرفته است. مقاطع عرضی مورد بررسی مثلثی و مربعی‌اند. برای این برج‌ها سه شکل مقاطع طولی متدالوی یعنی برج‌های با مقاطع ثابت از پائین تا رأس (منشوری)، برج‌های با شیب ثابت از پائین تا رأس، و برج‌های با شیب ثابت تا ارتفاعی معین به همراه یک قسمت منشوری در بالای برج انتخاب شده است. تمامی اشکال مورد اشاره برای برج‌ها با سه ارتفاع ۳۰، ۸۱ و ۱۲۱ متر تحلیل و طراحی شده‌اند. برای رسیدن به کمینه وزن سازه‌ی برج یا به عبارتی بهینه‌سازی اندازه‌ی مقاطع مناسب برای اعضا، تحلیل و طراحی هر برج به دفعات و براساس فهرستی از گزینه‌های مقاطع پروفیل‌های استاندارد قابل انتخاب برای مقاطع اعضاء صورت گرفته است. در بسیاری از نرم‌افزارهای تحلیل و طراحی سازه‌های فلزی، نظری^[۱۱] Sap که در این تحقیق مورد استفاده قرار گرفته، گزینه‌یی به عنوان انتخاب خودکار وجود دارد که عملیات بهینه‌سازی مقاطع اعضاء به‌کمک آن صورت می‌گیرد.

برای نامگذاری برج‌های مورد بررسی در این نوشتار از یک نام چهاربخشی با شکل عمومی D-H-CS-LS-D استفاده شده است. در این نامگذاری H ارتفاع برج است که می‌تواند یکی از اعداد ۳۰، ۸۱ یا ۱۲۱ متر باشد. همچنین CS نام مریب به شکل مقاطع عرضی است؛ چنانچه این مقاطع عرضی مربعی باشد به جای CS حرф (محفف S) و در صورتی که مقاطع عرضی مثلثی باشد به جای آن حرف T (محفف Triangle) قرار می‌گیرد. نام LS نیز مریب به شکل مقاطع طولی است که گاهی به جای آن حروف P، S، یا SP قرار می‌گیرد. نام S (محفف Slope) برای نشان دادن مقاطع طولی بر جی به کار می‌رود که دارای شیب ثابت در مقاطع طولی است؛ نامad P (محفف Prismatic) برای نشان دادن بر جی که مقاطع طولی آن شیب نداشته و در واقع دارای یک مقاطع عرضی ثابت در تمام ارتفاع برج است به کار می‌رود و در نهایت از نامad SP برای مشخص کردن برج‌هایی که

باریخ بر روی برج‌های مخابراتی ارائه نمی‌کند. آین نامه‌ی هند نیز درمورد ترکیب بار باد و بیخ محدودیتی اعمال نکرده است. جدول ۴ تیرکیبات بارگذاری مورد استفاده در طراحی برج‌های مخابراتی، طبق چهار آین نامه مورد بررسی در این نوشتار را نشان می‌دهد.

۶. مقایسه‌ی آین نامه‌های مختلف طراحی برج در برابر باد

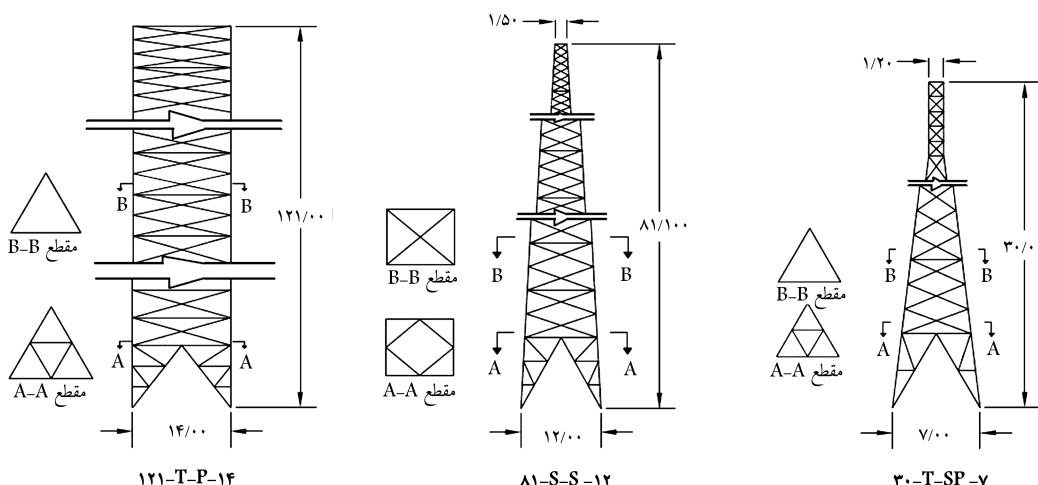
برای مقایسه و درک بهتر تفاوت بین آین نامه‌های طراحی مطرح شده در قسمت‌های قبلی، نیروی باد با سرعت h ۱۳۰ km/h وارد بر یک قطعه‌ی ۱ متري از نیشی با پهنه‌ای بال ۱۰ سانتی‌مترا در ارتفاع ۴۰ متری از یک برج ۸۱ متری مورد بررسی قرار گرفته است. نتایج حاصل از محاسبه‌ی بار باد وارد بر این نیشی بر مبنای آین نامه‌های مختلف در جدول ۵ ارائه شده است.

چنان‌که مشاهده می‌شود بیشترین نیروی به دست آمده مریب به آین نامه‌ی ایران و کمترین نیرو مریب به آین نامه‌ی ASCE/SEI ۷-۰۵ ASCE/SEI ۷-۰۵ امریکاست. با توجه به این که آین نامه‌ی TIA/EIA-۲۲۲-F، آین نامه‌ی شناخته شده در زمینه‌ی طراحی برج‌های مخابراتی است و در این تحقیق نیز از آن برای طراحی برج‌ها استفاده شده، سایر آین نامه‌ها با این آین نامه مقایسه شده‌اند. چنان‌که در جدول ۵ مشاهده می‌کنید، کمترین اختلاف مریب به آین نامه‌ی هند است که دارای اختلاف ۳ درصدی با آین نامه‌ی TIA/EIA-۲۲۲-F است. بعد از آین نامه‌ی هند نزدیک‌ترین مقدار مریب به آین نامه‌ی آلمان است که اختلافی ۲۸,۶ درصدی با این آین نامه دارد. علت این اختلاف وابستگی مقدار فشار باد با ارتفاع محل از سطح دریاست.

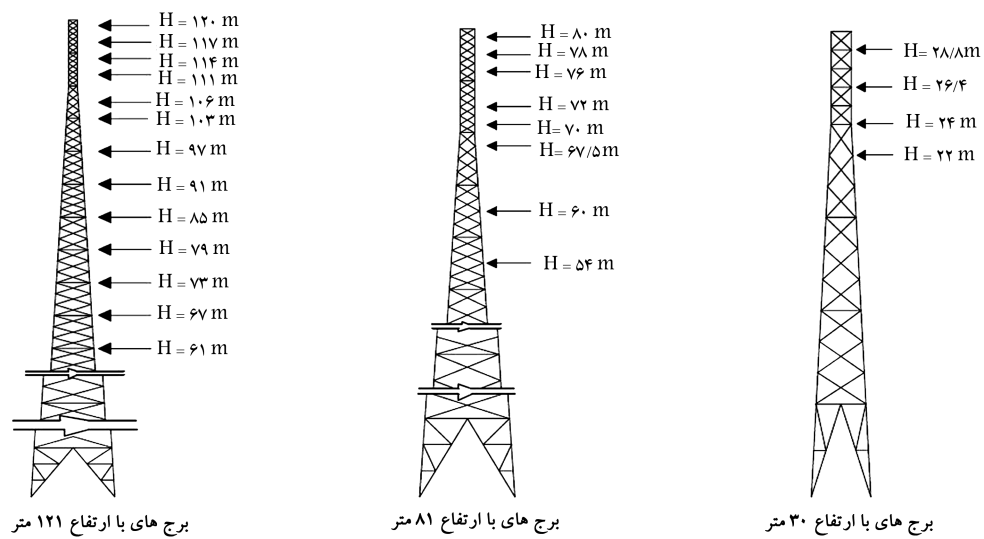
همچنین مقداری به دست آمده از آین نامه‌ی ASCE/SEI ۷-۰۵ اختلاف زیادی با آین نامه‌ی TIA/EIA-۲۲۲-F دارد. به نظر می‌رسد علت این اختلاف در این است که، علی‌رغم مشابهت روابط این آین نامه با آین نامه‌ی TIA/EIA-۲۲۲-F، ضربایی در این آین نامه وجود دارد که غالباً کاهنده است و آین نامه‌ی TIA/EIA-۲۲۲-F، ضربایی فاقد این ضربایی می‌باشد. آین نامه‌ی ایران برخلاف آین نامه‌ی ASCE/SEI ۷-۰۵ ASCE/SEI ۷-۰۵ مقدار بسیار بالای را به دست می‌دهد و از سایر آین نامه‌ها کاملاً متمایز است. علت این اختلاف زیاد، چنان‌که در متن آین نامه نیز به آن اشاره شده، وجود ضربایی است که بیشتر برای ساختمان‌ها مناسب بوده و برای سازه‌یی مانند برج ممکن است دقت کافی نداشته باشند.

جدول ۵. مقایسه‌ی عددی آین نامه‌های مختلف طراحی در برابر باد.

آین نامه	فشار باد بر قطعه (N/m ²)	نیروی باد وارد بر قطعه (N)	درصد اختلاف
TIA/EIA-۲۲۲-F	۱۱۸۲,۷۳	۲۹۸,۹۶	۰
مبحث ششم مقررات ملی ساختمان ایران	۸۴۵	۴۳۲,۶۵	۴۴,۷۲
ASCE/SEI ۷-۰۵	۸۲۹,۴	۱۶۲	-۴۵,۸
DIN ۴۱۳۱ - (۱۹۹۱)	۲۲۰۰	۲۱۳,۴۴	۲۸,۶
آین نامه‌ی هندوستان IS : ۸۷۵	۱۲۶۰,۳۲	۲۸۹,۹	-۳



شکل ۶. نام‌گذاری سه نمونه برج مخابراتی با مقاطع طولی و عرضی متفاوت.



شکل ۷. محل اعمال بار آتنن‌ها بر روی برج‌های ۳۰، ۸۱ و ۱۲۱ متری.

مقاطع اعضاء برج‌های مخابراتی موضوع طراحی از پروفیل‌های نیشی استاندارد انتخاب شده‌اند. تمام اعضاء از جنس فولاد ST37 با حد جاری شدن ۲۴۰۰ کیلوگرم بر سانتی‌متر مرربع، با مدول کشسانی 21×10^6 کیلوگرم بر سانتی‌متر مرربع و وزن مخصوص 7850 کیلوگرم بر مترمکعب می‌باشدند. اتصالات اعضاء به یکدیگر و اتصال برج به پی آن نیز مفصلی در نظر گرفته شده است.

دارای مقطع طولی شب‌دار تا ارتفاع معین هستند و سپس عرض مقطع شان ثابت می‌شود، بهره می‌گیرند. به جای حرف D نیز در نام برج، عرض پایه‌ی آن که از ۱/۵ تا ۱۴ متر تغییر می‌کند، قرار می‌گیرد. در شکل ۶ سه نمونه برج و نام آن‌ها براساس سیستم نام‌گذاری مورد اشاره ملاحظه می‌شود.

۲.۴. روش بهینه‌یابی

بهینه‌سازی توپولوژی، هندسه و اندازه‌ی مقاطع اعضاء یک سازه یکی از پیچیده‌ترین و مشکل‌ترین و در عین حال یکی از جالب‌ترین موضوعات در مهندسی سازه است. در گذشته برای حل این قیبل مسائل روش‌هایی در مهندسی بهینه‌سازی ارائه شده که به دلیل محدودیت‌هایی که داشته‌اند برای سازه‌های با مقیاس بزرگ و در طراحی‌های واقعی کمتر به کار گرفته شده‌اند. امروزه با وجود رایانه‌های پرسرعت و استفاده از روش‌های تکاملی در بهینه‌سازی، از جمله الگوریتم‌های زنتیکی، امکان بهینه‌سازی توپولوژی و هندسه سازه‌ها علاوه بر بهینه کردن مقاطع اعضاء آنها بیش از گذشته میسر شده است. علاوه بر تحقیق حاضر، پژوهش

برج‌های مخابراتی مقایسه شده مطابق با ترکیبات بارگذاری شرح داده شده در بند ۵.۳. بارگذاری شده‌اند. علاوه بر بار مرده‌ی اسکلت، باد و بیخ، بار مرده‌ی آتنن‌ها نیز بر روی برج‌ها اثر داده شده است. در شکل ۷ محل اعمال بار آتنن‌ها بر روی برج‌ها به صورت شماتیک نشان داده شده است. تحلیل و طراحی برج‌ها با استفاده از نرم‌افزار Sap ۲۰۰۰ v۱۱ و براساس آین نامه‌ی AISC-ASD آمریکا و به روش تنش مجاز صورت پذیرفته است. سرعت باد برای طراحی 130 km/h و برای محاسبه‌ی تغییر مکان‌ها 100 km/h در نظر گرفته شده است. خصامت بیخ نیز 15 میلی‌متر منظور شده، و برای طراحی از فولاد ST37 استفاده شده است.^[۱۱]

دیگری در زمینه‌ی بهینه‌سازی هندسه و توپولوژی برج‌های مخابراتی با استفاده از الگوریتم‌های ژنتیکی در دست تهیه است، در نوشتار حاضر صرفما با استفاده از مقایسه عددی نتایج تحلیل و طراحی ۸۴ برج مخابراتی هندسه بهینه آنها تعیین شده است.

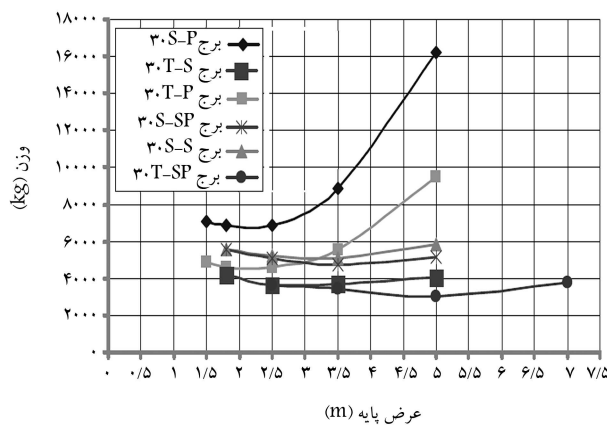
در این تحقیق ۸۴ برج با توپولوژی ثابت، مطابق نمونه‌هایی که در شکل ۸ ملاحظه می‌شود با مقاطع عرضی، طولی و ابعاد مختلف در سه ارتفاع ۳۰، ۵۰ و ۱۲۱ متر مورد بررسی قرار گرفته و هندسه‌ی بهینه برای هر یک از ارتفاع‌های مذبور به دست آمده است. براساس نتایج به دست آمده، تغییرات وزن برج‌ها نسبت به تغییرات عرض پایه‌ی آنها، در دامنه‌ی مورد بررسی، از منحنی‌هایی با یک نقطه‌ی کمینه‌گی مشخص پیروی می‌کند. از این‌رو برای به دست آوردن هندسه‌ی بهینه از روش‌های ریاضی پیچیده استفاده نشده، بلکه سعی شده است با استفاده از ترسیم نمودارهای تغییرات وزن برج نسبت به عرض پایه‌ی آن به‌کمک ۵ نقطه‌ی مناسب، عرض پایه‌ی بهینه (هندسه‌ی بهینه) به دست آورده شود.

۱.۲.۴. بررسی و مقایسه وزن برج‌ها

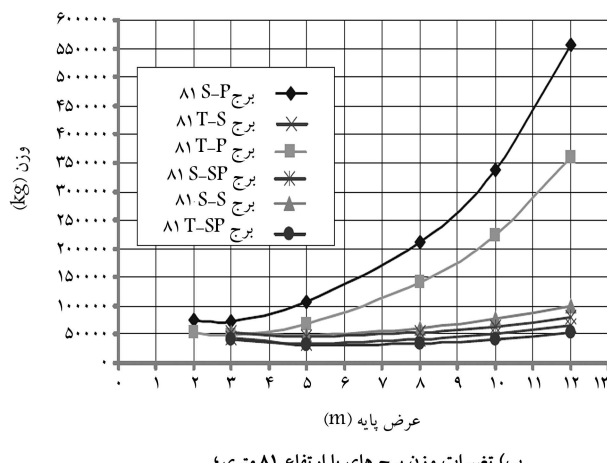
در شکل ۸ تغییرات وزن برج‌های فلزی مشبک مخابراتی با ارتفاع ۳۰، ۵۰ و ۱۲۱ متر و با مقاطع عرضی مثلثی و مربعی، و نیز با مقاطع ثابت و متغیر در ارتفاع به صورت تابعی از عرض پایه‌شان نشان داده شده است. چنان‌که مشاهده می‌شود برج‌های با مقطع عرضی مثلثی از برج‌های با مقطع عرضی مربعی که مقطع طولی یکسانی دارند سبک‌ترند. برج‌های منشوری --S-P (۸۱) یا ۳۰(۸۱) یا ۱۲۱(۸۱) دارای بیشترین و برج‌های با مقطع طولی مرکب --S-SP (۱۲۱) یا ۳۰(۸۱)-T-SP (۸۱) یا ۱۲۱(۸۱) دارای کمترین مقدار وزن نسبت به سایر برج‌های با مقطع عرضی مشابه‌اند. بررسی نتایج حاصله نشان می‌دهد که برج‌های مثلثی با مقطع طولی مرکب یا T-SP (۸۱) یا ۱۲۱(۸۱)، نسبت به سایر برج‌ها وزن کم‌تری دارند. در بررسی نمودارها مشاهده می‌شود که با افزایش ابعاد عرض پایه فاصله‌ی بین نمودارهای وزن برج‌های با مقطع عرضی مشابه افزایش می‌یابد. چنان‌که در نمودارها مشخص است با افزایش ابعاد عرض پایه وزن برج‌های منشوری با شدت بیشتری افزایش می‌یابد، به‌طوری که نمودار وزن برج‌های مذکور از سایر برج‌های هم‌گروه خود کاملاً جدا شده و فاصله می‌گیرد. علم این امر این است که با افزایش عرض پایه طول اعضای برج افزایش یافته و نسبت لاغری KL/r ، در طراحی اعضا حاکم می‌شود. به‌این ترتیب از تمام ظرفیت مقاومتی مقطع اعضا استفاده نمی‌شود و این موجب افزایش وزن قابل توجه برج‌های با مقطع ثابت منشوری نسبت به سایر برج‌ها می‌شود. با کاهش عرض پایه نمودار وزن برج‌ها به هم نزدیک می‌شود، زیرا با کاهش عرض پایه و با توجه به ثابت‌بودن عرض مقطع در قسمت بالای برج، شبیه برج‌های غیرمنشوری کاهش یافته و در واقع مقطع طولی این برج‌ها نیز به شکل منشوری نزدیک‌تر می‌شود. نمودارهای الف تا ج در شکل ۸ نشان می‌دهند که بیشترین کاهش وزن برج‌های با مقطع مثلثی نسبت به برج‌های با مقطع مربعی برای ارتفاع ۳۰، ۵۰ و ۱۲۱ متری به ترتیب معادل ۴۱,۶، ۳۵,۴ و ۳۴,۲۵ درصد است. این مقادیر به خوبی نشان‌دهنده‌ی تأثیر نوع مقطع انتخاب شده در میزان صرف‌جویی در وزن سازه‌اند.

۲.۲.۴. بررسی و مقایسه چرخش برج‌ها

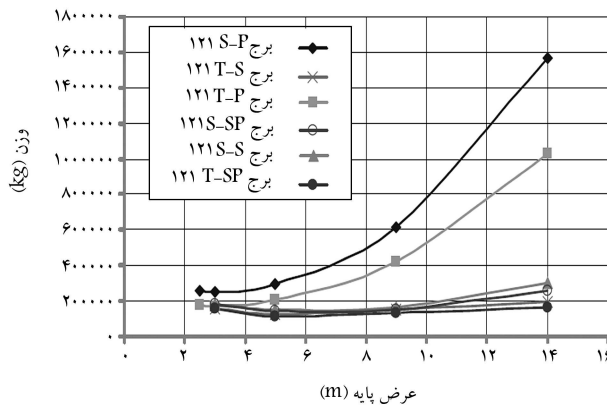
در شکل (الف، ب، و) نمودار چرخش مقطع فوقانی برج‌های تحت بررسی حول محور قائم نشان داده شده است. چنان‌که ملاحظه می‌شود نمودارهای چرخش برج‌ها بر مبنای عرض پایه‌ی آنها، جز در برج‌های ۱۲۱ متری مثلثی، از روند تغییر



الف) تغییرات وزن برج‌های با ارتفاع ۳۰ متری؛



ب) تغییرات وزن برج‌های با ارتفاع ۸۱ متری؛

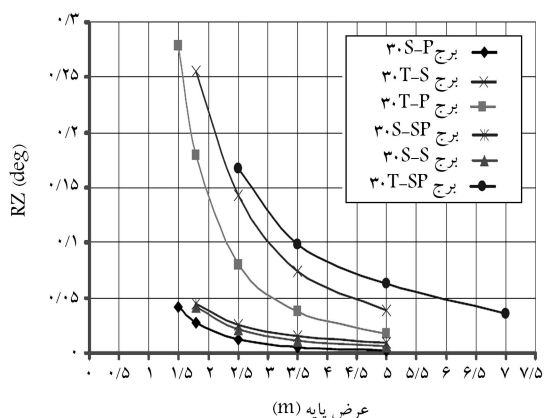


ج) تغییرات وزن برج‌های با ارتفاع ۱۲۱ متری؛

شکل ۸. تغییرات وزن برج‌های ۳۰، ۵۰ و ۱۲۱ متری بر مبنای عرض پایه.

مکان افقی پیروی می‌کند. همچنین مشاهده می‌شود که چرخش برج‌های مربعی از برج‌های مثلثی با مقطع طولی مشابه همواره کم‌تر است؛ به‌طور کلی می‌توان گفت که تمام برج‌های مربعی نسبت به برج‌های مثلثی چرخش کم‌تری دارند. نکته‌ی قابل توجه دیگر حساسیت بیشتر برج‌های مثلثی نسبت به چرخش است، به‌طوری که با کاهش عرض پایه شدت افزایش چرخش در برج‌های مثلثی بسیار بیشتر از برج‌های مربعی است و نمودارهای برج‌های مثلثی از برج‌های مربعی فاصله‌ی بیشتری می‌گیرند.

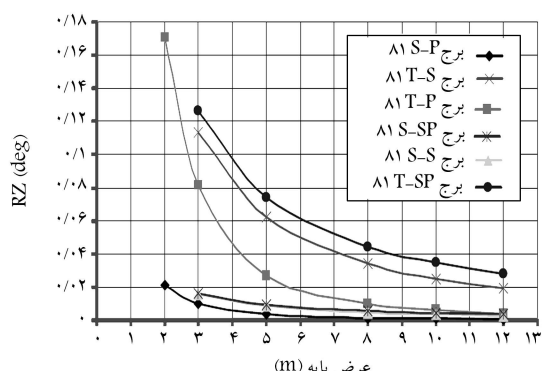
و در عرض پایه‌ی ۵ متر جهت نمودار تغییر کرده و مقدار چرخش در محل آتن‌ها کاهش می‌یابد، به طوری که در عرض پایه‌های کمتر از ۳ متر میزان چرخش برج‌های مربعی مشابه نیز کمتر می‌شود. بررسی‌های انجام شده نشان می‌دهد که علت این رفتار افزایش چرخش مشبّت ناشی از آتن‌های در ارتفاع پائین برج با کاهش عرض پایه است. کمتر بودن میزان چرخش برج‌های مثلثی در عرض پایه‌های کمتر از ۳ متر نشان‌دهنده‌ی برتری این برج‌ها در تحمل لنگر پیچشی نسبت به برج‌های مربعی نیست. کاهش زاویه‌ی پیچش برج در این مثال خاص ناشی از چرخش مشبّت ناشی از آتن‌های با سطح بادگیر وسیع نصب شده در قسمت‌های پائین برج است که سبب کاهش چرخش کلی برج در بالای آن شده است. بدینه‌ی است در صورت تغییر چیدمان آتن‌ها چرخش برج‌های مثلثی به مراتب بیشتر از برج‌های مربعی خواهد بود.



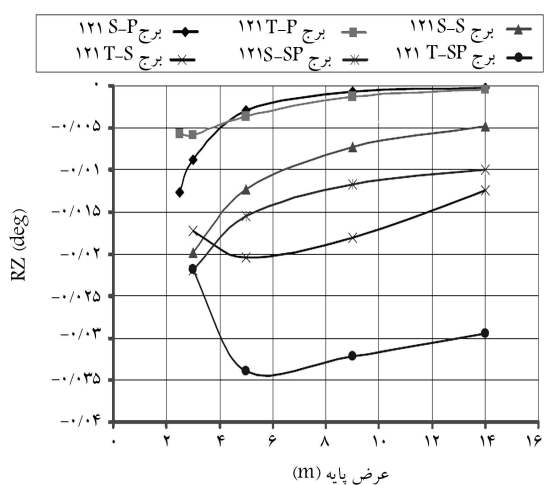
الف) تغییرات چرخش مقطع فوقانی برج‌های ۳۰ متری حول محور قائم؛

۳.۲.۴. بررسی و مقایسه‌ی تغییر مکان برج‌ها
در شکل ۱۰ تغییر مکان برج‌ها در راستای محورهای مختصات نشان داده شده است. چنان‌که مشاهده می‌شود با کاهش عرض پایه، مقدار تغییر مکان همواره افزایش می‌یابد. برای توجیه این رفتار برج می‌توان آن را به صورت یک تیر طره در نظر گرفت. روشن است که با کاهش ابعاد مقطع تیر، تغییر مکان نقاط مختلف آن تحت بارهای وارده افزایش می‌یابد. در بررسی روند افزایشی نمودارها شاهد به که با کاهش عرض پایه، بر شیب نمودارها نیز افزوده می‌شود. برج‌های با مقطع عرضی مربعی دارای تغییر مکان کمتری نسبت به برج‌های مثلثی با مقطع طولی مشابه‌اند. در مقایسه‌ی برج‌های با مقطع عرضی مشابه می‌بینیم که برج‌های با مقطع طولی منشوری، P-S(T)-P (یا ۱۲۱)، دارای کمترین و برج‌های با مقطع طولی مرکب، S(T)-SP، دارای بیشترین تغییر مکان‌اند. در برج‌های ۳۰ متری در عرض پایه ۵ متر به ظاهر در روند نمودارها اختلال ایجاد می‌شود. بررسی دقیق نمودارها مشخص می‌کند که اختلاف بین نمودارها کمتر از ۱ سانتی‌متر است و این مقدار در سازه‌ی بزرگی مانند برج قابل چشم‌پوشی است. حساسیت آتن‌های نصب شده روی یک برج مخابراتی نسبت به انحراف از راستای قائم، یکی از عوامل مهم و تعیین‌کننده در انتخاب عرض مناسب پایه‌ی آن است. چنان‌که در شکل ۱۰ مشاهده می‌شود، برج‌های ۸۱، ۳۰ و ۱۲۱ متری به ترتیب با عرض پایه‌های بیش از ۳/۵، ۵ و ۸ متر کمترین شیب افزایش تغییر مکان را دارند و از این رو برای محدود کردن انحراف برج از راستای قائم گرینه‌های مناسبی هستند.

با در نظر گرفتن عوامل وزن، تغییر مکان و چرخش به نظر می‌رسد برج‌های با مقطع طولی منشوری به واسطه‌ی وزن بسیار بالا نسبت به سایر برج‌ها بهینه نیستند. وزن برج‌های مربعی نسبت به برج‌های مثلثی بیشتر است، اما میزان تغییر مکان و به خصوصی چرخش آن‌ها بسیار کمتر از برج‌های مثلثی است. بنابراین در برگذاری‌های سنگین و نامتقارن به منظور محدود کردن چرخش و تغییر مکان ممکن است به برج‌های مثلثی ارجحیت داشته باشند. در گروه‌های برج‌های مربعی و مثلثی، نمودارهای وزن، تغییر مکان و چرخش برج‌های S-T-S (یا ۱۲۱)، S-T-SP (یا ۸۱)، S-S (یا ۱۲۱) و SP-S (یا ۳۰) نزدیک به هم‌اند. براین اساس می‌توان گفت، اگرچه برج‌های S-T-S (یا ۱۲۱) از برج‌های S-T-SP (یا ۱۲۱) بزرگ‌ترند، اما در صورت وجود برگذاری‌های سنگین یا نامتقارن، با توجه به تغییر مکان و چرخش کمتر برج‌های S-T-S (یا ۱۲۱) از برج‌های S-T-SP (یا ۳۰) بزرگ‌ترند. در این برج‌ها نیز با کاهش عرض پایه مقدار چرخش افزایش می‌یابد و شیب نمودار چرخش بیشتر می‌شود. چرخش برج‌های ۱۲۱ متری با مقطع مثلثی نیز در ابتدا با کاهش عرض پایه از روند افزایشی پیروی می‌کند. با کاهش بیشتر عرض پایه



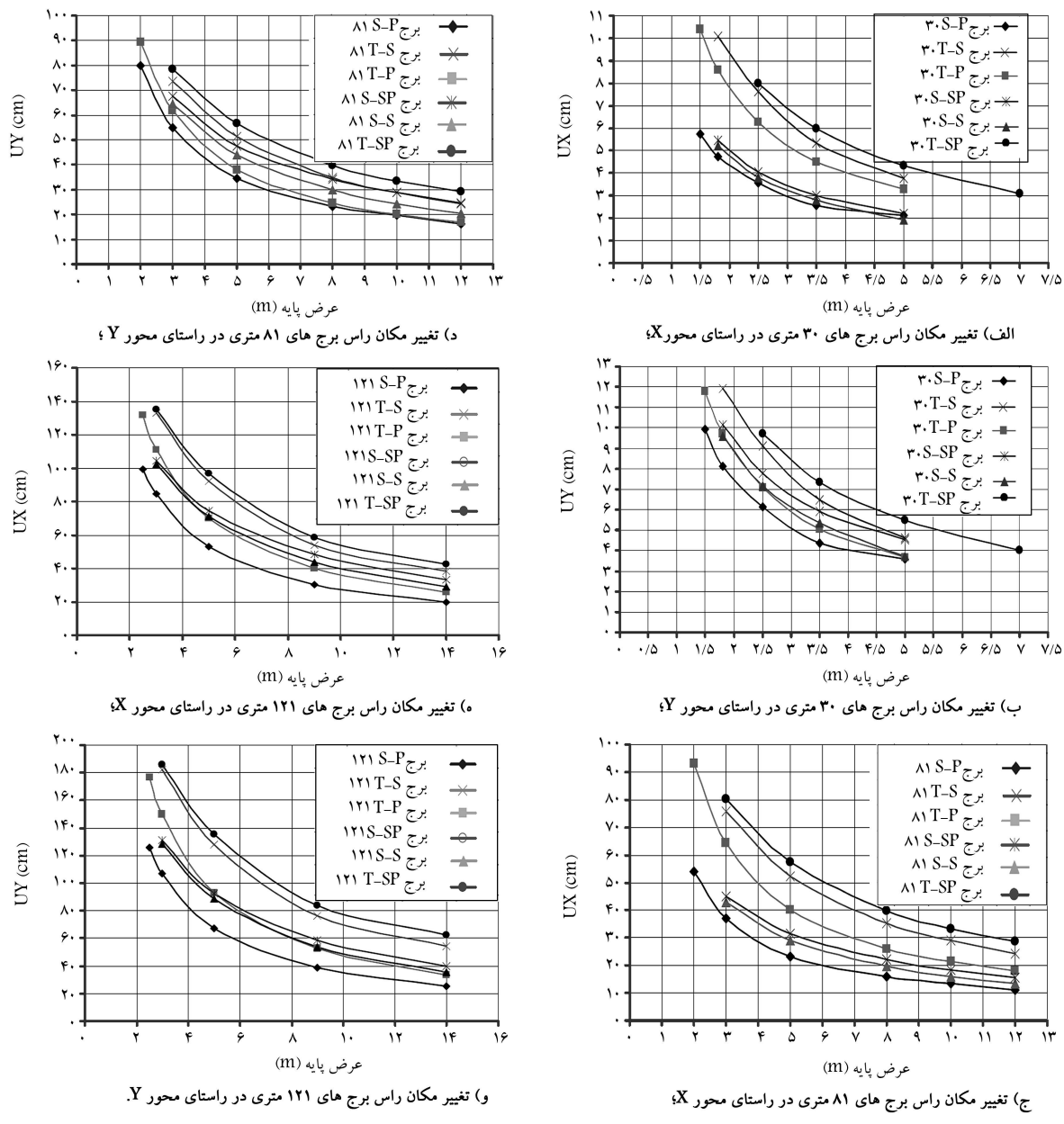
ب) تغییرات چرخش مقطع فوقانی برج‌های ۸۱ متری حول محور قائم؛



ج) تغییرات چرخش مقطع فوقانی برج‌های ۱۲۱ متری حول محور قائم.

شکل ۹. چرخش برج‌های ۸۱، ۳۰ و ۱۲۱ متری حول محور قائم بر مبنای عرض پایه.

چرخش برج‌های ۱۲۱ متری برخلاف برج‌های ۳۰ و ۸۱ متری منفی بوده و در جهت عقره‌های ساعت است. علت تفاوت چرخش برج‌های ۱۲۱ متری با برج‌های دیگر در چیدمان خاص آتن‌های است. برج‌های ۱۲۱ متری با مقطع عرضی مربعی از همان روند نمودارهای چرخش برج‌های ۳۰ و ۸۱ متری پیروی می‌کنند؛ در این برج‌ها نیز با کاهش عرض پایه مقدار چرخش افزایش می‌یابد و شیب نمودار چرخش بیشتر می‌شود. چرخش برج‌های ۱۲۱ متری با مقطع مثلثی نیز در ابتدا با کاهش عرض پایه از روند افزایشی پیروی می‌کند. با کاهش بیشتر عرض پایه



ج) تغییر مکان راس برج های ۸۱ متری در راستای محور X

شکل ۱۰. تغییر مکان برج های ۳۰، ۸۱، ۱۲۱ و ۱۵۰ متری در جهات محورهای مختلف بازه عرض پایه.

شیبدار و یک قسمت منشوری دارای کمترین وزن و بیشترین تغییر مکان و چرخش اند.

۴. تحت بارگذاری یکسان، برج های بهینه با مقطع طولی منشوری دارای بیشترین وزن و کمترین تغییر مکان و چرخش اند.

۵. با کاهش عرض پایه برج، مقدار وزن ابتدا کاهش و سپس افزایش می‌یابد اما مقدار تغییر مکان و چرخش همواره افزوده می‌شود.

۶. با توجه به وزن بسیار بالای برج های منشوری، استفاده از این برج ها کمتر توصیه می‌شود.

۷. تحت بارگذاری یکسان، چرخش برج های بهینه با مقطع مربعی نسبت به برج های مثلثی کمتر است و به نظر می‌رسد برج های بهینه با مقطع مربعی در عرض پایه های کوچک و در مواردی که چرخش دارای اهمیت است به برج های مثلثی ارجحیت داشته باشند.

۵. نتیجه‌گیری

با توجه به بررسی های به عمل آمده می‌توان در مورد طرح هندسی برج های مخابراتی خودایستا چنین گفت:

۱. تحت بارگذاری یکسان، وزن برج های بهینه با مقطع عرضی مثلثی نسبت به برج های با مقطع عرضی مربعی کمتر است.

۲. تحت بارگذاری یکسان، تغییر مکان برج های بهینه با مقطع عرضی مربعی نسبت به برج های با مقطع عرضی مثلثی کمتر است.

۳. تحت بارگذاری یکسان، برج های بهینه با مقطع طولی مركب شامل یک قسمت

پابلوشت

1. self-supporting towers
2. guyed masts
3. structural design optimization
4. Indian standard
5. gust response factor
6. force coefficient
7. structure force coefficient
8. linear or discrete appurtenance force coefficient
9. linear appurtenance
10. exposure coefficient
11. topographic factor
12. wind directionality factor
13. area averaging factor
14. combination factor
15. risk coefficient
16. importance factor
17. basic wind speed
18. design wind speed
19. height factor

منابع

1. Khedr Mohamed, A.H., *Seismic Analysis of Self-Supporting Latticed Telecommunication Towers*, PHD thesis, Department of civil Engineering and Applied Mechanics, McGill University, Canada (1998).
2. Sullins, E.J., *Analysis of Radio Communication Towers Subjected to Wind, Ice and Seismic Loadings*, PHD thesis, University of Missouri-Columbia (2006).
3. پارسی‌راد، پروین‌ساز، دکل‌ها، برج‌ها، دودکش‌ها، انتشارات فنک، تهران (۱۳۸۵).
4. www.qomiran-tejarat.com/News/Cat13/News_N10116.html.
5. Mukhanov, K. and Leib, G. "Design of metal structures", Mir publisher, Moscow (1968).
6. Kirsch, U. "Structural optimization fundamentais and applications", Springer-Verlag (1993).
7. Nabeel, A.J. and Alaa, C.G. "Optimum design of square free-standing communication towers", *Journal of Constructional Steel Research*, **58**, pp 413-425 (2002).
8. ASCE Standard, *American Society of Civil Engineers, ASCE/SEI7-05* (2006).
9. TIA/EIA Standard, *Telecommunications Industry Association*, copyright by the Electronic Industries Alliance 2005, TIA/EIA-222-F (1996).
10. Indian Standard, *Wind Loads on Buildings and Structures- Proposed Draft & Commentary*, IS: 875 (part 3) (2004).
11. دفتر تدوین و ترویج مقررات ملی ساختمان، مبحث ششم مقررات ملی ساختمان ایران، انتشارات توسعه ایران، تهران (۱۳۸۶).
12. Sap2000 Help Manual, Sap2000 Advanced 11.0.0, University Avenue Berkeley, California, USA.
13. شرکت ارتباطات سیار، معاونت فنی و مهندسی، مشخصات عمومی دکل‌های خودایستا، سایت‌های BTS (۰۲۰-Ver), MCCI-۴۰ (۱۳۸۴).